

## 5 淡塩水界面における内部波に関する研究

東北大工学部 正員 岩崎敏夫

" 学生員 日下理

" 学生員 宝田盈康

### §1. まえがき

工業の発展に伴って、沿岸の工業排水や発電所の温水放水の拡散は、重要な問題となつて來ている。密度差を有する二層に相対的な速度差のある流れにおいて、この速度差から大ささとし、境界面に内部波が発生し、状況によつては波高の増大後碎波して、拡散混合の原因となる。従つて内部波の波高変化について水理学的条件を明らかにするには、拡散過程を研究する基礎として重要である。本論文では、河口附近をモデル化して淡塩水界面に生ずる内部波について、まず実験によつてその卓越周期、波長、波速、スペクトル等を求り内部波の性質を明らかにし、ついでこれを規則的で確定現象と仮定した場合の理論的波高変化について、解析式の誘導を試みた。

### §2. 不規則な内部波の解析

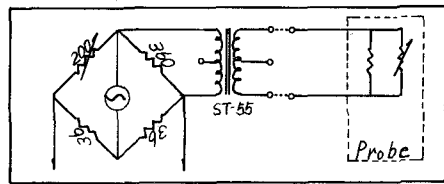
#### (1) 実験の概要・目的

実験水路は、長さ380mm、深さ30mm、巾15mmで観測区間の中100mmの範囲である。1回のブリッジで計測し、実験環境のわざかの変化でも影響するので、実験の度にキャリフレーションを行、T=不規則波と2分間以上記録し、相関函数、スペクトル等の解析によつて、波動運動を規定する諸量を決定している。実験は、流程10mmから80mmまで5mm毎に計測し、流量を三種類変えたが、波高発達の顯著なグラフを解析例に載せており、その結果から次のようにまとめられる。

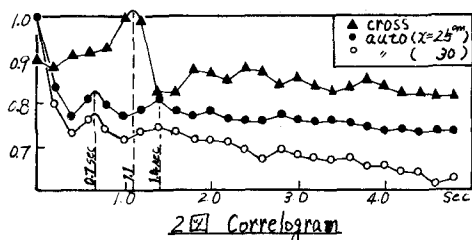
#### (2) 解析例

実験条件は、淡水塩水の深さ共に10mm、密度差を1.0005, 1.0205、水温差16.5°C、流量1.403m³/s、平均流速4.68cm/s、内部フルード数0.334、レインルス数4.216、ケーリカン数0.13004であった。

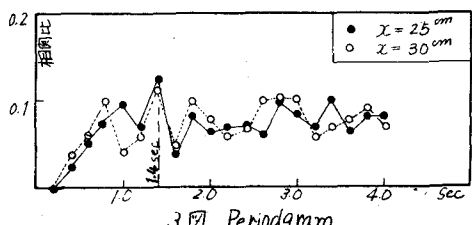
内部波の卓越周期は、スペクトル・自己相関、アリオドグラムから約0.7秒であることをわかった。波速は、プローフ間距離(5m)と相互相関のdelay time(約1.1秒)との比をとつて、4.55cm/sとなる。流程によって周期が若干変化するが、近似値で計



1図 Bridge回路



2図 Correlogram



3図 Periodogram

算すれば、卓越波長約3.18mmが得られる。4回のスケートル因をみると、航程に従ってエネルギー増加があり、しかもピークがほぼ対応していることから、内部波はこの区间において増やしている傾向と思われる。尚0.2秒間隔600点のSamplingである。

### §3. 規則的内部波の波高変化に関する解析

#### (1) 基礎式

非圧縮性、非粘性、二次元運動、線形性の範囲内での問題を考えている。5.1回の場合、barをつけた平均量、変動量はbarをしき記号とするし、未知函数, w, p, ψの4つに対する線形化された式は、次の4式である。

$$\frac{\partial u}{\partial t} + \bar{u} \frac{\partial u}{\partial x} + w \frac{\partial \bar{u}}{\partial z} = -\frac{1}{\rho} \frac{\partial p}{\partial z} \quad (1)$$

$$\frac{\partial w}{\partial t} + \bar{u} \frac{\partial w}{\partial x} = -\frac{1}{\rho} \frac{\partial p}{\partial z} - \frac{g}{\rho} \psi \quad (2)$$

$$\frac{\partial p}{\partial t} + \bar{p} \left( \frac{\partial u}{\partial z} + \frac{\partial w}{\partial z} \right) + w \frac{\partial \bar{p}}{\partial z} + \bar{u} \frac{\partial p}{\partial z} = 0 \quad (3)$$

$$\frac{\partial \bar{p}}{\partial t} + \bar{u} \frac{\partial \bar{p}}{\partial z} + w \frac{\partial p}{\partial z} = 0 \quad (4)$$

次で定義される流函数  $\psi(x, z; t)$  を導入するとともに、函数と  $t$  と少くして考えよう。

$$u = -\frac{\partial \psi}{\partial z}, \quad w = \frac{\partial \psi}{\partial x} \quad (5)$$

これらから  $p, \bar{p}$  を消去すると

$$\bar{p} \left[ \frac{\partial^2 \psi}{\partial x^2} + \bar{u} \frac{\partial^2 \psi}{\partial z^2} - \bar{u}' \frac{\partial \psi}{\partial z} \right] - \bar{p}' \left[ \frac{\partial^2 \psi}{\partial x^2} + \bar{u} \frac{\partial^2 \psi}{\partial z^2} - \bar{u}' \frac{\partial \psi}{\partial z} \right]$$

$$+ \bar{p} \bar{u} \left[ \frac{\partial^2 \psi}{\partial x^2} + \bar{u} \frac{\partial^2 \psi}{\partial z^2} - \bar{u}' \frac{\partial \psi}{\partial z} \right] - \bar{p}' \bar{u} \left[ \frac{\partial^2 \psi}{\partial x^2} + \bar{u} \frac{\partial^2 \psi}{\partial z^2} - \bar{u}' \frac{\partial \psi}{\partial z} \right] + g \bar{p}' \frac{\partial \psi}{\partial z} = 0 \quad (6)$$

Primeは  $\frac{\partial}{\partial t}$  である。運動においては、運動が  $x, t$  について周期的の場合が多いので、また線形式であるから、調和波の中 Fourier 成分の一つ  $\psi = \psi(x) \exp[ik(x-ct)]$  を考えると次式となる。

$$(\bar{p}\psi)' - \left[ \bar{p}^2 \bar{p} + \frac{(\bar{p}\bar{u}')'}{\bar{u}-c} + \frac{\bar{p}'}{(\bar{u}-c)^2} g \right] \psi = 0 \quad (\bar{p}w)' - \left[ \bar{p}^2 \bar{p} + \frac{(\bar{p}\bar{u}')'}{\bar{u}-c} + \frac{\bar{p}'}{(\bar{u}-c)^2} g \right] w = 0 \quad (7)$$

境界面条件の式：境界面の上层、下層に量にそれぞれ  $u, w$  と添字を付ける。運動学的条件は、近似的に、

$$[\eta/t + \bar{u} \cdot \nabla / \partial x]_u = [\eta/t + \bar{u} \cdot \nabla / \partial x]_e \quad (8)$$

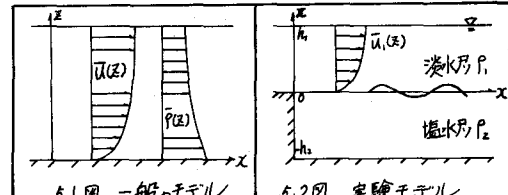
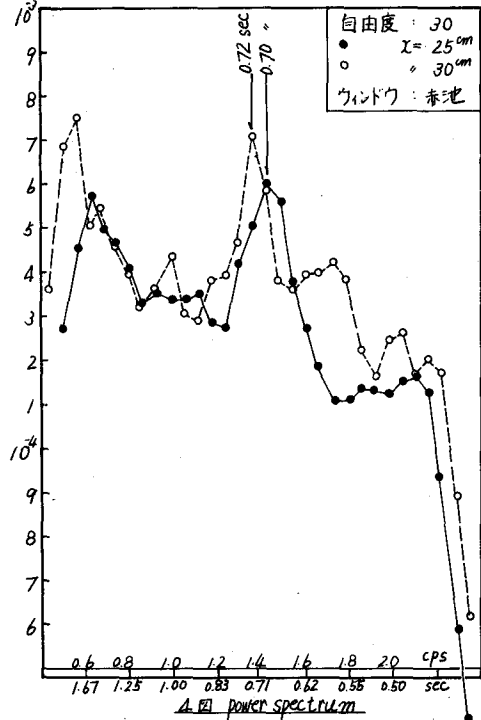
力学的条件は境界面で等圧力の二つから  $D(p_u - p_e)/\partial z = 0$  を書道して、

$$[\bar{p}(c-\bar{u})^2 \psi' - \bar{p}(g - \bar{u}(c-\bar{u}))\psi]_u = [\bar{p}(c-\bar{u})^2 \psi' - \bar{p}(g - \bar{u}(c-\bar{u}))\psi]_e$$

$$\text{or } [\bar{p}(c-\bar{u})^2 w' - \bar{p}(g - \bar{u}(c-\bar{u}))w]_u = [\bar{p}(c-\bar{u})^2 w' - \bar{p}(g - \bar{u}(c-\bar{u}))w]_e \quad (10)$$

但し、内部波形を、次のようにしてみる。

$$\eta = A e^{ik(x-ct)} \quad (11)$$



○実験モデルについて：前記は一般的な式であるが、5.2 図はより特別の場合として、それとの流体を支配する式を得られる。1.2 の添字は、上下の量。

$$\begin{cases} \psi_1'' - (\bar{k}^2 + \frac{\bar{u}_1''}{\bar{u}_1 - c}) \psi_1 = 0 \\ \psi_2'' - \bar{k}^2 \psi_2 = 0 \end{cases} \quad \text{or} \quad \begin{cases} w_1'' - (\bar{k}^2 + \frac{\bar{u}_1''}{\bar{u}_1 - c}) w_1 = 0 \\ w_2'' - \bar{k}^2 w_2 = 0 \end{cases} \quad (12)$$

$$(13)$$

水底条件：  $\psi_2(-h_2) = 0, \quad w_2(-h_2) = 0 \quad (14)$

界面条件：  $P_1 C^2 \psi_1' + P_1 (\bar{u}_1' - g) \psi_1 = P_2 C^2 \psi_2' - P_2 g \psi_2, \quad \psi_1 = \psi_2 \quad (15)$

$$P_1 C^2 w_1' + P_1 (\bar{u}_1' - g) w_1 = P_2 C^2 w_2' - P_2 g w_2, \quad w_1 = w_2 \quad (15)$$

表面条件：  $\psi_1(h_1) = 0, \quad w_1(h_1) = 0 \quad (16)$

(16) は自由表面であるから、表面波が与えられた時、空気中の密度を極めて小で  $(P_0=0)$  として、(10) が与えられる。ここでは表面波がなし、内部波による影響は次のオーダー比較でほとんどないものとして、固定境界に似た条件を与える。淡水上に  $P_0=0$  の下を想定し、 $P = P_0, P_1, P_2$  の 3 点について考える。10) と Sturm の振動理論から、次のオーダーとなる。

$$w_{n-1} = O\left[\frac{\Delta P_{1-2}}{\Delta P_{0-1}} w_{1-2}\right]$$

実際目視によると、表面の変動が観測されない程度である。これまで  $\psi$  と  $w$  とに着いて、 $\psi$  と  $w$  の位相差に留意すれば、解釈過程に便利な方を選んで解いて良いことになる。(11) の内部波形の式において、 $C$  或いは  $k$  を複素数としてその虚部が波高変化に因る項を除くから、以下では  $C = C_r + iC_i$  の評価についての解析が主である。

## (2) ディスク展開による方法

$$(13) を解くと  $\psi_2(z) = -aC \sinh k(z+h_2) / \sinh kh_2 \quad (17)$$$

(12) は、解の形を  $\psi_1(z) = (\bar{u}_1 - C) \sum (k^2)^m \Phi_m(z)$  に展開でよろしいものとして、(12) に代入する。

$$((\bar{u}_1 - C)^2 \Phi_m)' = (\bar{u}_1 - C)^2 \Phi_{m-1} \quad (18)$$

境界条件を考慮して解くと、結局  $\psi_1(z)$  は次である。

$$\begin{aligned} \psi_1(z) &= a(\bar{u}_1 - C) \left\{ 1 + \bar{k}^2 \int_0^z (\bar{u}_1 - C)^2 dz + \bar{k}^2 \int_0^z (\bar{u}_1 - C)^2 dz dz + \dots \right\} \\ &\quad - a(\bar{u}_1 - C) \frac{1}{F(C)} \left\{ \int_0^z (\bar{u}_1 - C)^2 dz + \bar{k}^2 \int_0^z (\bar{u}_1 - C)^2 \int_0^z (\bar{u}_1 - C)^2 dz dz dz + \dots \right\} \end{aligned} \quad (19)$$

$$= z^2 \frac{1}{F(C)} = \frac{1 + \bar{k}^2 \int_0^z (\bar{u}_1(z) - C)^2 dz + (\bar{u}_1(z) - C)^2 \int_0^z (\bar{u}_1(z) - C)^2 dz dz + \dots}{\int_0^z (\bar{u}_1(z) - C)^2 dz + \bar{k}^2 \int_0^z (\bar{u}_1(z) - C)^2 \int_0^z (\bar{u}_1(z) - C)^2 dz dz + \dots} \quad (20)$$

したがって (15) より  $C$  に関する超越方程式を得る。

$$C^2 \frac{\bar{k}^2}{P_1} k \coth kh_2 + \left\{ \frac{1}{F(C)} - \frac{P_2 - P_1}{P_1} g \right\} = 0 \quad (21)$$

## (3) 固有値の考え方

*neutral plane* が発生するような密度流を考える場合には、口有問題として扱われる。物理的な現象を良く説明できるので有用である。 $L$  を二階線型微分演算子としたとき、 $L[F] = \lambda G(\eta) F$  の口有値を取るには、まず線型独立な函数  $G(\eta)$  を選んで、解をその線型結合  $F(\eta) = \sum D_\eta G(\eta)$  で近似する。 $\int F L[F] d\eta$  が  $D_\eta$  に対して停留的(stationary)であるには、 $N$  ヶの方程式が成立し、その結果  $F \equiv 0$  の自明解以外の解を持つたりとは、次の口有方程式が得られる。

$$\begin{vmatrix} A_{11}-MB_{11} & \cdots & A_{1N}-MB_{1N} \\ \vdots & & \vdots \\ A_{N1}-MB_{N1} & \cdots & A_{NN}-MB_{NN} \end{vmatrix} = 0 \quad \begin{array}{l} = z \\ A_{ns} = - \int \phi_n(\eta) L[\phi_n(\eta)] d\eta \\ B_{ns} = - \int g(\eta) \phi_n(\eta) \psi_n(\eta) d\eta \end{array}$$

計算の簡単化と実際に  $\neq 1$  mode が最も現れやすいためから、 $\neq 1$  mode について考える。 (12) は、

$$-w_i w_i'' + \int_0^h (w_i')^2 dz + k^2 \int_0^h w_i^2 dz + \int_0^h \frac{\bar{u}_i''}{\bar{u}_i - c} w_i^2 dz = 0 \quad (22)$$

平均流の  $h$  の場合の値  $w_i(z) = ikcA \exp[ik(x-h)] \sinh kh(z-h)/\sinh kh_i$  を近似値とするとき次になる。

$$C \left\{ k \coth kh_i + \frac{P_2}{P_1} k \coth kh_i \right\} + \int_0^h \frac{\bar{u}_i''}{\bar{u}_i - c} \left( \frac{\sinh kh(z-h)}{\sinh kh_i} \right)^2 dz - C \bar{u}(0) - \frac{P_2 - P_1}{P_1} g \quad (23)$$

#### (4) 積分方程式で解く試み

実際の現象の起り方も関連して興味のひかる数学的特異性について明確にさせるため、次のような試みをした結果最終的な解決には至ってないが、その考え方を述べてみる。 (12), (15), (16) の system を解くと、オーバー Fredholm 型積分方程式が得られる。

$$w_i(z) = \frac{B}{k \coth kh_i - A_{11} \sinh kh_i} \sinh kh(z-h_i) + \int_0^h G(z, s; k) \frac{\bar{u}_i''(s)}{\bar{u}_i(s) - c} w_i(s) ds \quad (24)$$

$$z = z \quad A_{11} = (\Delta P/P_1) \cdot (g/c^2) + \bar{u}(0)/c \quad , \quad B = P_2/P_1 \cdot w_i(0)$$

$$G(z, s; k) = \begin{cases} \frac{A_{11} \sinh ks \sinh k(h-s) - k \coth ks \sinh ks \sinh k(h-s)}{A_{11} \sinh kh_i - k \coth kh_i} \frac{1}{k} & 0 \leq z < s \\ \frac{A_{11} \sinh ks \sinh k(h-z) - k \coth ks \sinh ks \sinh k(h-z)}{A_{11} \sinh kh_i - k \coth kh_i} \frac{1}{k} & s \leq z \leq h_i \end{cases}$$

$G(z, s; k)$  は Helmholtz 整式に対するケーリー-ラーン函数である。逐次近似法によつて

$$w_i(z) = \frac{B \sinh kh(z-h_i)}{k \coth kh_i - A_{11} \sinh kh_i} + \int_0^h G(z, s; k) \frac{\bar{u}_i''(s)}{\bar{u}_i(s) - c} \frac{B \sinh kh(s-h_i)}{k \coth kh_i - A_{11} \sinh kh_i} ds + \dots + \int_0^h G(z, s_1; k) \frac{\bar{u}_i''(s_1)}{\bar{u}_i(s_1) - c} \int_0^{s_1} G(s_1, s_2; k) \frac{\bar{u}_i''(s_2)}{\bar{u}_i(s_2) - c} \frac{B \sinh kh(s_2-h_i)}{k \coth kh_i - A_{11} \sinh kh_i} ds_2 ds_1 \quad (25)$$

これが一括収束であるためには、

$$\text{Max} \left[ G(z, s; k) \frac{\bar{u}_i''(s)}{\bar{u}_i(s) - c} \right] < \frac{1}{h_i} \quad . \quad (26)$$

(26) はよつて、 $C$  の領域の評価をある程度行えるのではないかと考えてよいが、これが以上の進展につなげて、特異核のことをもつて残された問題である。

#### §4. あとがき

内部波の発生から碎波までの遷移現象から不規則波の水理学的性質について、周波数解析の方法によつて若干明かづけた。また規則波の解析をいくつか試みたが、それそれに特徴があり、これらと実測値との比較が、今後の検討課題である。

東北工大講師防部至雄には、多くお直切の御教示を賜り、また相談にうつて頂いた。実験に当つては防海工学、応用水理学講座の皆様の御助力を得た。及び本論文は、昭和45年度文部省科学研究費の補助を受けた。謝意をこめてここに記します。

参考文献 1. Yih: *Dynamic of Non-*

2. 桃田徳一: 第15回海講. 1968  
3. Ince: *Ordinary differential equa.* 1926

3. 大井鉄郎: 偏微分方程とその应用. 1966